

เยื่อแผ่นชนิดเซล-เจลด้วยอะลูมินาเพื่อการแยกเอนไซม์แลพ่าอะไมಡ์จากสารละลาย

นางสาว วีรวรรณ วัฒนพรศาลา

วิทยานิพนธ์นี้เป็นส่วนหนึ่งของการศึกษาตามหลักสูตรปริญญาวิศวกรรมศาสตรมหาบัณฑิต

ภาควิชาวิศวกรรมเคมี

บัณฑิตวิทยาลัย จุฬาลงกรณ์มหาวิทยาลัย

ปีการศึกษา 2539

ISBN 974-636-626-2

ลิขสิทธิ์ของบัณฑิตวิทยาลัย จุฬาลงกรณ์มหาวิทยาลัย

**ALUMINA SOL-GEL MEMBRANE FOR α -AMYLASE ENZYME
SEPARATION FROM SOLUTION**

Miss Veerawan Vajanapornsan

**A Thesis Submitted in Partial Fulfillment of the Requirements
for the Degree of Master of Engineering**

Department of Chemical Engineering

Graduate School

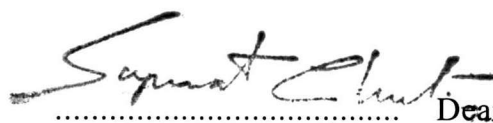
Chulalongkorn University

Academic Year 1996

ISBN 974-636-626-2

Thesis Title Alumina Sol-Gel Membrane for α -Amylase Enzyme
 Separation from Solution
By Miss Veerawan Vajanapornsan
Department Chemical Engineering
Thesis Advisor Associate Professor Chirakarn Muangnapoh, Dr.Ing.

Accepted by the Graduate School, Chulalongkorn University in Partial
Fulfillment of the Requirements for the Master's Degree.


..... Dean of Graduate School

(Professor Supawat Chutivongse, M.D.)

Thesis Committee

 Chairman

(Professor Wiwut Tanthapanichakoon, Ph.D.)

 Thesis Advisor

(Associate Professor Chirakarn Muangnapoh, Dr.Ing.)

 Member

(Chidphong Pradistsuwana, Ph.D.)

 Member

(Pakamat Sdinthammasak, M.Eng.)

พิมพ์ด้นฉบับทั้งย่อวิทยานิพนธ์ภายในการอบรมสีเขียวนี้เพียงแผ่นเดียว

วิวรรณ วัจนะศรี : เยื่อแผ่นอะลูมินาเพื่อการแยกเอนไซม์และฟ้าอะไมเลส
จากสารละลาย (ALUMINA SOL-GEL MEMBRANE FOR α -AMYLASE ENZYME
SEPARATION FROM SOLUTION) อาจารย์ที่ปรึกษาวิทยานิพนธ์ :
รองศาสตราจารย์ ดร.จิราภรณ์ เมืองนาโพธิ์, 110 หน้า. ISBN 974-636-626-2

วิธีการเตรียมตัวกรองอะลูมินาถูกศึกษาโดยใช้เทคนิคโซล-เจลเพื่อใช้ในการแยกเอนไซม์และฟ้าอะไมเลสจากสารละลาย สารละลายโซลเกิดจากการทำปฏิกิริยาระหว่างอะลูมิเนียมเซคคันดารีบิวทอกไซด์, น้ำ และกรดไนติค ที่อุณหภูมิ 80-85 องศาเซลเซียส ในอัตราส่วน 1:100:0.07 โดยโมลตามลำดับ สารละลายโซลที่ได้จะถูกนำไปเคลือบบนตัวรองรับเป็นเวลา 10 วินาที จากนั้นเผาตัวกรองที่ได้ที่อุณหภูมิ 600 องศาเซลเซียส เป็นเวลา 30 นาที เพื่อเปลี่ยนไบโรไมต์ให้เป็นแกรนมาอะลูมินา ตัวกรองที่เคลือบสองชั้นจะได้เยื่อแผ่นที่มีขนาดรูพุน 73.9 อัมสตรอง ปริมาตรรูพุน 0.1322 ลบ.ซม./กรัม และความพุนตัว 48.04 % ตามลำดับ ตัวกรองอะลูมินาที่ผลิตได้กักเก็บโพลีไนล์ออกไซด์ 0.2 เปอร์เซนต์โดยน้ำหนัก ได้ถึง 44.9 เปอร์เซนต์ ตัวกรองเหล่านี้ได้ถูกนำมาใช้แยกเอนไซม์และฟ้าอะไมเลสจากสารละลาย ภายใต้ความดัน 0.3-0.5 บาร์, ความเข้มข้นของสารละลายเอนไซม์ 1.2-2.4 กรัม/ลิตร และความเร็วเรียนกลับ 1.04-1.66 เมตร/วินาที พบว่า การเพิ่มความดันและความเร็วเรียนกลับทำให้เพอมิเอชันฟลักซ์และความเข้มข้นเพิ่มขึ้นที่การกักเก็บเฉลี่ย 67.22 เปอร์เซนต์ และยังพบว่าเยื่อแผ่นที่ทำได้สามารถเพิ่มความเข้มข้นของเอนไซม์ได้ 44.60 เปอร์เซนต์ภายใน 120 นาที

ภาควิชา วิศวกรรมเคมี
สาขาวิชา วิศวกรรมเคมี
ปีการศึกษา ... 2539

ลายมือชื่อนักศึกษา
ลายมือชื่ออาจารย์ที่ปรึกษา
ลายมือชื่ออาจารย์ที่ปรึกษาawan

พิมพ์ด้วยน้ำอักษรไทย

C717187 : MAJOR CHEMICAL ENGINEERING

KEY WORD: SOL-GEL/ALUMINA/MEMBRANE/ α -AMYLASE ENZYME/SEPARATION

VEERAWAN VAJANAPORNSAN : ALUMINA SOL-GEL MEMBRANE FOR
 α -AMYLASE ENZYME SEPARATION FROM SOLUTION.

THESIS ADVISOR : ASSOCIATE PROFESSOR CHIRAKARN MUANGNAPOH, Dr.Ing.
110 pp. ISBN 974-636-626-2.

The preparation method of Alumina filters were studied by using sol-gel technique for separating α -amylase enzyme from the solution. Sol solution was obtained from the reaction of Aluminium secondary butoxide, water and nitric acid at 80-85°C in mole ratio of 1:100:0.07, respectively. The obtained sol solution was coated on the support for 10 seconds. After that, the made filter was calcined at 600°C for 30 minute to change boehmite to be gramma alumina. The obtained bi-layer membrane has pore size of 73.9 Å, pore volume of 0.1322 cm³/g, and porosity of 48.04 %, respectively. The rejection of 0.2 % wt. Polyvinyl Alcohol by home made alumina filters is 44.9 %. These filters were used to separated α -amylase enzyme from solution, under pressure of 0.3-0.5 bars, enzyme concentration of 1.2-2.4 g/litre, and recirculation velocity of 1.04-1.66 m/sec. It was found that permeation flux increases as enzyme and recirculation velocity increase at average rejection of 67.22 %. And it was also found that made membrane can increase enzyme concentration to 44.60 % in 120 minutes.

ภาควิชา วิศวกรรมเคมี

ลายมือชื่อนิสิต

กานต์ บุญรอด

สาขาวิชา วิศวกรรมเคมี

ลายมือชื่ออาจารย์ที่ปรึกษา (7.5 mm⁻¹ / 2.5 mm⁻¹)

ปีการศึกษา 2539

ลายมือชื่ออาจารย์ที่ปรึกษาร่วม

ACKNOWLEDGEMENT

The author would like to express her highest gratitude to Associate Professor Dr. Chirakarn Muangnapoh for her inspirational advice, guidance, supervision, and helpful suggestions throughout this research study. She is also grateful to Professor Dr. Wiwut Tanthapanichkoon for serving as chairman, Dr. Chidphong Pradistsuwana and Mrs. Pakamat Sdinthammasak as members of this thesis committee.

Many favorite thanks to Siam Cement Public Company Limited for alumina, The East Asiatic Company (Thailand) Ltd. for α -amylase enzyme. Loxley Public Company Limited and Osi Specialties (Thailand) Ltd. for chemicals.

Thank you for the instrumental support from Metallurgy and Material Science Research Institute and Department of Material Science, Chulalongkorn University.

Most of all, the author would like to express her highest gratitude to her parents for their inspiration and encouragement during her research.

Finally, special thanks to Mr. Smith Teratrakoonwichaya for his valuable suggestion, encouragement, and aspiration. And sincere gratitude to members of Biochemical Engineering Laboratory for supporting over the years of her study.

NOMECLATURE

C	=	Concentration	[g/l]
C_B	=	Concentration of solute	[g/l]
C_G	=	Concentration of gel	[g/l]
C_P	=	Concentration of permeate	[g/l]
$C_w.$	=	Concentration at the membrane surface	[g/l]
D_v	=	Solute diffusivity	[cm ² /min]
d	=	Fluid channel height on membrane	[μm]
J	=	Filtration flux rate	[cm ³ /min-cm ²]
K	=	Mass transfer coefficient	[cm/min]
L	=	Filter length	[cm]
M	=	Metal	[$-$]
n	=	Valence number	[$-$]
P_f	=	Filtrate pressure	[bar]
P_i	=	Inlet pressure	[bar]
P_o	=	Outlet pressure	[bar]
ΔP	=	Pressure drop	[bar]
ΔP_{TM}	=	Transmembrane pressure	[bar]
Q	=	Volumetric flow rate	[cm ³ /min]
R	=	Alkyl group	[$-$]
R_M	=	Membrane resistances	[cm ⁻¹]

R_G	=	Gel resistances	[cm ⁻¹]
Re	=	Reynolds number	[-]
Sc	=	Schmidt number	[-]
Sh	=	Sherwood number	[-]
t	=	Coating time	[sec]
V	=	Recirculation velocity	[cm/min]
v_0	=	Total volume absorbed	[cm ³ /g]
x	=	Membrane thickness	[μm]
δ	=	Boundary layer thickness	[μm]
ρ	=	Density	[kg/cm ³]
ρ_s	=	Skeletal density	[g/cm ³]
μ	=	Viscosity	[kg/cm-min]
σ	=	Rejection coefficient	[-]
v	=	Valence	[-]
ϵ	=	Membrane porosity	[-]

CONTENTS

	PAGE
ABSTRACT (IN THAI).....	iv
ABSTRACT (IN ENGLISH).....	v
ACKNOWLEDGEMENT.....	vi
NOMECLATURE.....	vii
CONTENTS.....	ix
LIST OF TABLES.....	xii
LIST OF FIGURES.....	xiv
CHAPTER	
I INTRODUCTION.....	1
1.1 The objectives of this study.....	2
1.2 The scopes of this study.....	3
II LITERATURE REVIEW.....	4
2.1 Reviewed Papers on Ceramic Membrane.....	4
2.2 Reviewed Papers of α -Amylase Enzyme.....	8
III THEORY.....	11
3.1 Membrane.....	11
3.2 Membrane Processing.....	14
3.3 Preparation of Membrane Over Support.....	15

	PAGE
3.4 Influential Factors of Ceramic Membrane.....	21
3.5 Sol-Gel Theory.....	22
3.6 Enzymes.....	25
3.7 α -Amylase Enzyme.....	28
3.8 Ultrafiltration.....	35
IV EXPERIMENTS.....	46
4.1 Chemicals.....	46
4.2 Equipments.....	47
4.3 Experimental Procedures.....	48
V RESULTS AND DISCUSSIONS.....	58
5.1 Characterization of Supported and Intermediated Layers' Properties.....	58
5.2 The Influence of Acid Concentration in Sol Solution on Membrane Formation.....	62
5.3 The Effect of Coating Time on the Membrane Thickness.....	66
5.4 The Effect of Calcination Temperature on the Microstructure.....	70
5.5 The Effect of Calcination Time on the Microstructure.....	73

	PAGE
5.6 Study of Rejection Performance on Home Made Porous Filter.....	75
5.7 Standard Permeation Flux of Distilled Water on Home Made Porous Filter.....	77
5.8 α -Amylase Concentration.....	81
VI CONCLUSIONS AND RECOMMENDATIONS.....	89
REFERENCES.....	91
APPENDIX	
A SUPPORT PROPERTIES DETERMINATION.....	96
B POLYVINYL ALCOHOL DETERMINATION.....	98
C SACCHARIFYING AMYLASE DETERMINATION.....	100
D EXPERIMENTAL DATA.....	103
BIOGRAPHY.....	110

LIST OF TABLES

TABLE	PAGE
2.1 Influence of Support (Pore Size) and Peptizing Acid on the Formation of Gel Layers During Dipping.....	6
2.2 Influence of Water Concentration on Gelation.....	7
3.1 Sources of α -Amylase Enzyme from Natural.....	28
5.1 Properties of Supported Layer.....	58
5.2 Comparison of One and Bi-Layer Membrane Properties.....	76
5.3 Result of Percent Increasing of Enzyme Concentration at 120 minutes of Filtration.....	81
5.4 Comparison of Percent Increasing α -Amylase Enzyme at Transmembrane Pressure 0.5 bar, Recirculation Velocity 1.66 m/sec.....	83
D1 Pore Size Distribution of Support Layers.....	103
D2 Membrane Thickness VS. Coating Time.....	103
D3 Properties of Membranes in Various Calcination Temperature.....	104
D4 Properties of Membranes in Various Calcination Time.....	104
D5 Permeation Flux of Support and Intermediate at Recirculation Velocity 1.66 m/sec in Various Transmembrane Pressure.....	104

TABLE	PAGE
D6 Permeation Flux of Bi-Layer Membrane in Various Transmembrane Pressure.....	104
D7 Pore Size Distribution of One and Bi-Layer Membrane	105
D8 Experimental datas of Filtration at Enzyme Concentration and Recirculation Velocity of 2.4 g/litre and 1.66 m/sec.....	106
D8 Experimental datas of Filtration at Enzyme Concentration and Recirculation Velocity of 2.4 g/litre and 1.43 m/sec.....	107
D10 Experimental datas of Filtration at Enzyme Concentration and Recirculation Velocity of 2.4 g/litre and 1.04 m/sec.....	108
D11 Experimental datas of Filtration at Transmembrane Pressure and Recirculation Velocity of 0.5 bar and 1.66 m/sec.....	109

LIST OF FIGURES

FIGURE	PAGE
3.1 Schematic Representation of an Asymmetric Membrane and a Symmetric Membrane.....	11
3.2 Dehydration Sequence of Alumina Hydrates in Air.....	16
3.3 Structure of Boehmite.....	17
3.4 Preparation Scheme for DCS and PMU.....	19
3.5 Reaction Mechanisms of Various Amylase.....	30
3.6 Concentration Gradient.....	36
3.7 Concentration Gradient until Gel Polarization.....	39
3.8 The Comparison between Conventional Filtration and Cross-Flow Filtration.....	40
3.9 Cross-Flow Filtration Pressure Relationship.....	42
4.1 Sol-Gel Equipment.....	50
4.2 Photograph of Ceramic Filter.....	54
4.3 Schematic diagram of Ceramic Module.....	55
4.4 Experimental Apparatus of Filtration Unit.....	56
4.5 Schematic diagram of Filtration Apparatus.....	57
5.1 Pore Size Distribution of Support and Intermediate.....	60
5.2 SEM Photograph of Supports.....	61

FIGURE	PAGE
5.3 SEM Photograph of Gel Layer at Various Acid Concentration.....	65
5.4 Correlation between Membrane Thickness and Coating Time....	67
5.5 SEM Photograph of Gel Layer at Various Coating Time.....	69
5.6 X-Ray Diffraction Patterns of Al_2O_3	71
5.7 Correlation between Porosity, Pore Volume, and Pore Diameter VS. Calcination Temperature	72
5.8 Correlation between Porosity, Pore Volume, and Pore Diameter VS. Calcination Time.....	74
5.9 Correlation between Permeation Flux of Distilled Water and Transmembrane Pressure on Supported and Intermediated Layer...	78
5.10 Correlation between Permeation Flux of Distilled Water and Transmembrane Pressure on Bi-Layer Membrane.....	79
5.11 Permeation Flux at Enzyme Concentration and Recirculation Velocity of 2.4 g/litre and 1.66 m/sec.....	84
5.12 Permeation Flux at Enzyme Concentration and Recirculation Velocity of 2.4 g/litre and 1.43 m/sec.....	85
5.13 Permeation Flux at Enzyme Concentration and Recirculation Velocity of 2.4 g/litre and 1.04 m/sec.....	86
5.14 Correlation of Transmembrane Pressure and Permeation Flux at Enzyme Concentration 2.4 g/litre.....	87

FIGURE	PAGE
5.15 Permeation Flux at Transmembrane Pressure and Recirculation	
Velocity of 0.5 bar and 1.66 m/sec.....	88
B1 Polyvinyl Alcohol (MW 70,000-100,000) Standardization Curve..	99
C1 Glucose Standardization Curve.....	102